

М. М. ВИКТОРИНА, член-корреспондент АН СССР Б. В. ДЕРЯГИН,
И. Г. ЕРШОВА, Н. В. ЧУРАЕВ

ВЛИЯНИЕ ПЛОЩАДИ СМАЧИВАЮЩИХ ПЛЕНОК НА ИХ УСТОЙЧИВОСТЬ

При исследовании испарения полярных жидкостей из капилляров обнаружены аномалии, для объяснения которых было сделано предположение о зависимости устойчивости смачивающих пленок от их площади^(1, 2). В работе⁽³⁾ разработана методика изучения этого явления, основанная на наблюдениях за прорывом смачивающих пленок (при $\Pi = \text{const}$ и $T = \text{const}$, где Π — расклинивающее давление и T — температура), при растяжении пузырька воздуха в кварцевых капиллярах.

Схема экспериментов и результаты нескольких опытов приведены на рис. 1. В свежетянутом кварцевом капилляре формировался за счет испарения части жидкости пузырек воздуха длиною $l_0 < l_*$. Здесь l_* — предельная длина участка смачивающей пленки, оценка которой делалась на основании^(1, 2). Радиусы использованных капилляров r составляли от 1 до 80 μ . Объем пузырька ограничен менисками и смачивающей пленкой на стенах капилляра. Сформированный пузырек передвигался давлением воздуха в центральную часть капилляра, после чего один из его концов запаивался. Это позволяло исключить быстрое самопроизвольное смешение пузырька из-за небольшой конусности или негоризонтальности расположения капилляра. Капилляр помещался в жидкость, заполнившую часть стеклянной трубки диаметром 2—3 мм. Плавно и медленно откачивая воздух из трубы, вызывали постепенное растяжение пузырька, сопровождавшееся увеличением длины смачивающей пленки l и, соответственно, ее площади $s = 2\pi rl$. Как и ранее⁽³⁾, вводились поправки на небольшие изменения длины пузырька в результате растворения воздуха. Длина пузырька измерялась с помощью компаратора ИЗА-2 с точностью $\pm 1 \mu$. Давление воздуха определялось по ртутному манометру.

После каждой ступени понижения давления p проверялась неизменность начальной длины пузырька l_0 путем восстановления начального давления p_0 , обычно несколько большего, чем атмосферное. Для неполярных жидкостей (CCl_4 и бензол) даже после увеличения длины пузырька в 3—4 раза значения l_0 практически не менялись: изменения длины пузырька l были полностью обратимыми. Иначе обстоит дело в случае полярных жидкостей: воды и этилового спирта. Как видно из рис. 1, после растяжения до некоторой критической длины l_* начальная длина пузырька не восстанавливается. Она изменяется скачком и принимает несколько большее, но также постоянное значение $l'_* > l_0$. Начальную длину пузырька l_0 нельзя теперь восстановить ни путем длительного выдерживания при $p_0 = \text{const}$, ни путем повторного растяжения пузырька до значений $l < l_*$. Это означает, что смачивающая пленка на поверхности капилляра претерпевает после увеличения ее длины до $l \geq l_*$ необратимые изменения.

Увеличение длины пузырька l'_* по сравнению с l_0 при том же значении внешнего давления p_0 можно объяснить изменением капиллярного давления в связи с изменением краевого угла смачивания θ . Так как со смачивающей пленкой мениск образует краевой угол $\theta = 0$, то ясно, что наблюдаемый необратимый переход вызван изменением строения пленки. Это

позволяет предположить, что скачок длины пузырька обусловлен переходом смачивающей или β -пленки в более тонкую полимолекулярную α -пленку. Возможность и условия такого $\beta \rightarrow \alpha$ -перехода теоретически рассмотрены Б. В. Дерягиным и Л. М. Щербаковым⁽⁴⁾. Как было показано Б. В. Дерягиным и З. М. Зориным⁽⁵⁾, объемная фаза образует с α -пленкой конечный краевой угол $\theta > 0$. Таким образом, изменение длины пузырька при $p = p_0$ связано с прорывом метастабильной смачивающей пленки толщи-

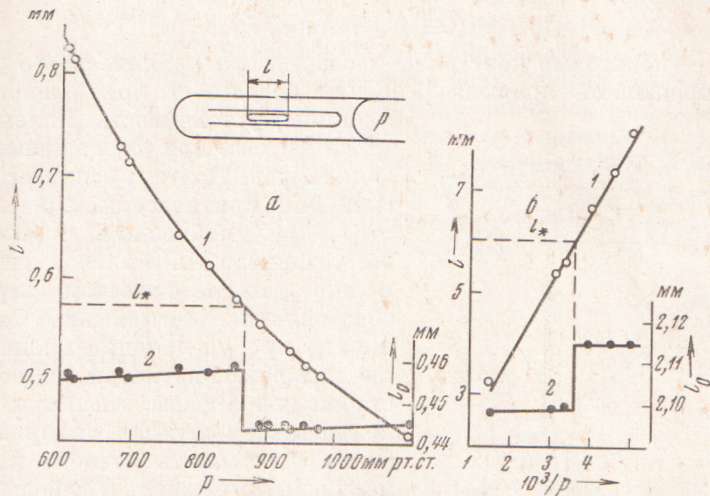


Рис. 1. 1 — зависимость длины пузырька l от давления воздуха p ; 2 — изменение начальной длины пузырьков l_0 при $p = p_0$. а — бидистиллированная вода, $r = 3,2 \mu$, $t = 17^\circ\text{C}$, $p_0 = 1116 \text{ мм рт. ст.}$, $l_0 = 0,44 \text{ мм}$, $l_* = 0,57 \text{ мм}$; б — бидистиллированная вода, $r = 18,3 \mu$, $t = 22^\circ\text{C}$, $p_0 = 650 \text{ мм рт. ст.}$, $l_0 = 2,1 \text{ мм}$, $l_* = 6 \text{ мм}$

шой в сотни Å и ее переходом в более устойчивое состояние — α -пленку толщиной в несколько десятков Å⁽⁵⁾.

Если начальная длина сформированного пузырька l_0 была с самого начала больше, чем l_* , то в этом случае изменений l_0 при растяжении пузырька, естественно, не наблюдалось, так как смачивающая пленка в этих условиях не могла сохраняться. При $l_0 > l_*$ поверхность капилляра уже была покрыта тонкой α -пленкой. При $l_0 < l_*$ восстановить смачивающую пленку после прорыва можно лишь с затратой работы на перемещение пузырька в капилляре под действием градиента давления. При этом за отступающим мениском остается смачивающая пленка, самопроизвольный переход которой $\beta \rightarrow \alpha$ после растяжения до $l \geq l_*$ можно наблюдать повторно в том же капилляре.

Используя закон Бойля — Мариотта, справедливость которого для пузырьков воздуха подтверждается графиками зависимостей 1 (рис. 1)*, найдем выражение, позволяющее определить краевой угол объемной жидкости с α -пленкой:

$$\cos \theta = \frac{l_0}{l'_0} - \frac{p_0 r}{2\sigma} \left(1 - \frac{l_0}{l'_0} \right), \quad (1)$$

где σ — поверхностное натяжение жидкости.

Полученные из 20 опытов средние значения θ составили $\theta_{\text{ср}} = 22 \pm 6^\circ$, что согласуется с результатами, полученными для малых капель воды на свежетянутой поверхности кварцевых нитей⁽⁵⁾.

* Кривая 1 на рис. 1а отвечает участку гиперболической зависимости $pl = \text{const}$. В координатах $l(1/p)$ график, как видно на рис. 1б, является линейным.

Значения критической длины смачивающих пленок l_* обнаруживают зависимость от радиуса капилляра: с увеличением r значения l_* , как правило, растут*. Такой же характер зависимости обнаруживается и при обработке графиков скоростей испарения воды из капилляров⁽¹⁻³⁾. Прямую зависимость l_* от r можно объяснить, рассматривая превращение смачивающей пленки в полимолекулярную как фазовый переход $\beta \rightarrow \alpha$.

Как известно⁽⁷⁾, толщина равновесной смачивающей пленки h связана с диаметром капилляра зависимостью

$$\Pi = A / h^n = \sigma / r, \quad (2)$$

где A и n — некоторые константы изотермы расклинивающего давления. Так как вероятность прорыва β -пленки возрастает при уменьшении ее

толщины, устойчивость β -пленок должна снижаться при уменьшении радиуса капилляров. Поэтому следует ожидать снижения критических значений длины l_* при уменьшении r . Зависимость же устойчивости β -пленок от площади можно связать с ростом вероятности образования критических зародышей α -фазы при увеличении площади пленки s , характеризующей «объем» метастабильной β -фазы. Аналогом этого явления может служить, например, известная зависимость степени переохлаждения мелких капель и небольших столбиков жидкостей от их объема⁽⁸⁻¹⁰⁾. Эта зависимость, как известно, объясняется тем, что в малых объемах понижается вероятность образования критических зародышей стабильной в данных условиях фазы.

Обнаруженное явление потери устойчивости смачивающих пленок при увеличении их площади было воспроизведено также и при других условиях экспериментирования. В этих опытах пузырек воздуха создавался тем же методом, но в конических открытых

Рис. 2. а — схема опытов. Пузырек в коническом капилляре до ($l < l_*$, верхняя схема) и после ($l > l_*$, нижняя схема) прорыва смачивающей пленки; б — зависимость скорости перемещения v_1 наступающего мениска 1 пузырька воздуха от времени испарения t ; $t = 22^\circ\text{C}$, $r_{cp} \sim 10 \mu$

с двух сторон кварцевых капиллярах градиента капиллярного давления столбик с пузырьком был смешен в сторону узкого конца капилляра. Наблюдали за ходом испарения воды, которое шло наиболее интенсивно с поверхности правого мениска, расположенного вблизи узкого конца капилляра. Испарение вызывало перемещение левого мениска и пузырька в сторону узкого конца. Перемещение в сужающуюся часть капилляра вызывало увеличение длины пузырька l . Такой способ растяжения пузырька при его движении в коническом капилляре был применен ранее в работе⁽¹¹⁾, где также наблюдался (по скачку электропроводности) прорыв смачивающих пленок 0,5 N раствора LiCl.

В ходе опытов регистрировалось положение менисков 1 и 2 пузырька (рис. 2а) и скорости их смещения. При достижении некоторой критической длины l_* , близкой к полученной в опытах с цилиндрическими капиллярами того же радиуса, происходил прорыв смачивающей пленки, что можно было обнаружить по резкому изменению скорости движения v_1 наступающего мениска 1 (рис. 2б). В начале опыта, когда $l < l_*$ и пузырек граничит со смачивающей пленкой ($\theta = 0$), скорость v_1 постепенно снижается

* Вследствие статистического характера прорыва β -пленки значения l_* испытывают естественный разброс.

ется в связи с отступанием испаряющего мениска \mathcal{Z} в глубь капилляра. После прорыва пленки, наступающего при $l > l_*$, скорость перемещения мениска l резко падает и затем начинает, как видно из графика на рис. 2б, колебаться. Мениск движется рывками, в связи с тем, что он попадает то на участки, покрытые тонкой α -пленкой (когда оказывается в связи с $\theta > \theta_c > 0$ влияние гистерезиса смачивания), то на места, где находятся микрокапельки, образовавшиеся после распада β -пленки. Аналогичные колебания скорости смещения испытывает и отступающей мениск \mathcal{Z} , которому они передаются через деформирующуюся пузырек газа.

Результаты проведенных экспериментов дают прямое экспериментальное подтверждение зависимости устойчивости смачивающих пленок от их площади. Это явление может играть важную роль в физике процессов массопереноса. Критическая площадь пленок s_* , зависящая от геометрии пространства и степени его заполнения жидкостью, может служить критерием, определяющим толщину образующихся поверхностных пленок (β или α) и, следовательно, их проводящую способность.

Институт физической химии
Академии наук СССР
Москва

Астраханский технический институт
рыбной промышленности и хозяйства

Поступило
21 VI 1971

ЦИТИРОВАННАЯ ЛИТЕРАТУРА

- ¹ Б. В. Дерягин, Н. В. Чураев, И. Г. Ершова, ДАН, **182**, 132 (1968). ² Н. В. Чураев, И. Г. Ершова, Колл. журн., **33** № 5—6 (1971). ³ Б. В. Дерягин, И. Г. Ершова, Н. В. Чураев, Сборн. Поверхностные силы в тонких пленках и дисперсных системах, «Наука», М., 1971. ⁴ Б. В. Дерягин, Л. М. Щербаков, Колл. журн., **23**, 40 (1961). ⁵ Б. В. Дерягин, З. М. Зорин, ЖФХ, **29**, 1755 (1955). ⁶ В. П. Сафронов, Метод определения равновесных краевых углов по линейным параметрам малой капли на нити, Одесск. гос. унив., Кандидатская диссертация, 1970. ⁷ Б. В. Дерягин, С. В. Нерпин, ДАН, **99**, 1029 (1954); **100**, 17 (1955). ⁸ Б. Дж. Мейсон, Физика облаков, Л., 1961. ⁹ R. S. Chahal, R. D. Miller, Brit. J. Appl. Phys., **16**, 231 (1965). ¹⁰ I. E. Kuhus, B. J. Mason, Proc. Roy. Soc. A, **302**, 437 (1968). ¹¹ В. Я. Волкова, С. В. Нерпин и др., Сборн. тр. по агрофизике, в. 22, № 1, 1970, стр. 69.